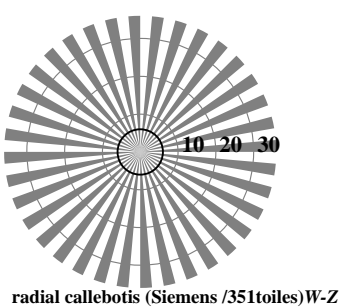
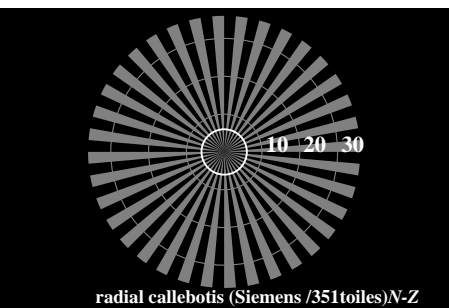
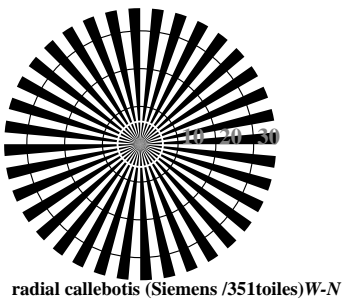
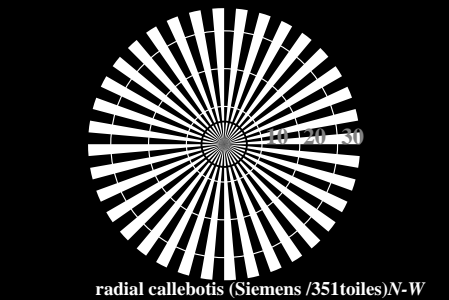
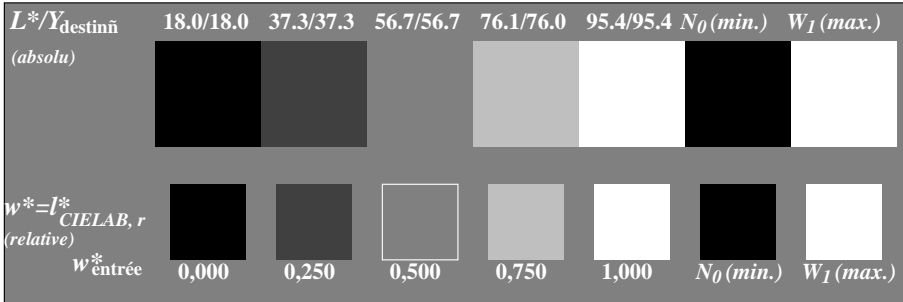


v 6 8  
L 0 O Y M C  
C 8  
M 6  
Y 8  
O 6  
R 8  
L 0 O Y M C  
V 8  
-6  
voir fichiers similaires: <http://130.149.60.45/~farbmefrik/RF99/RF99.L0FA.TXT /PS>  
informations techniques: <http://www.psbam.de> ou <http://130.149.60.45/~farbmefrik>

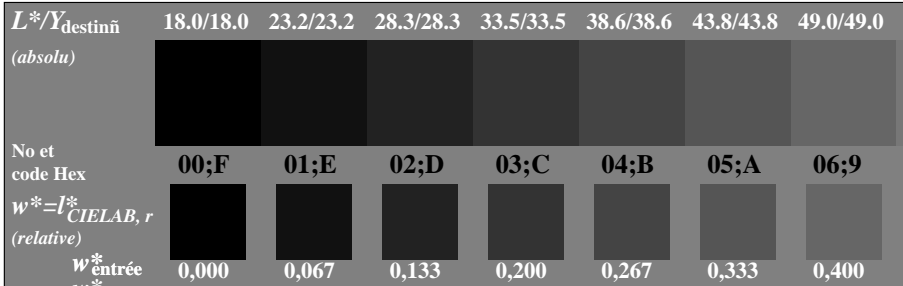
v http://130.149.60.45/~farbmefrik/RF99/RF99L0FA.TXT /PS; sortie de production  
F: linéarisation 3D RF99/RF99LF30FA.DAT dans fichier (F), page 1/2



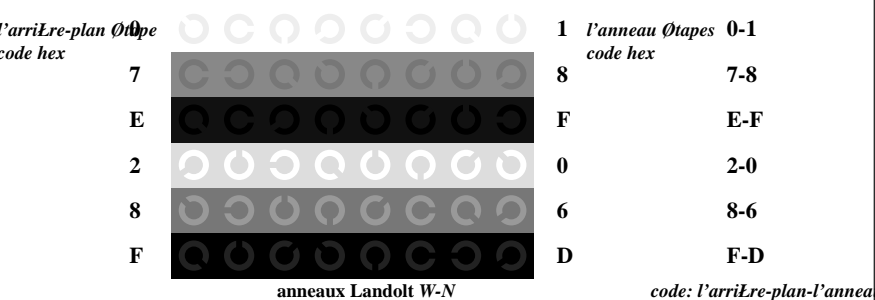
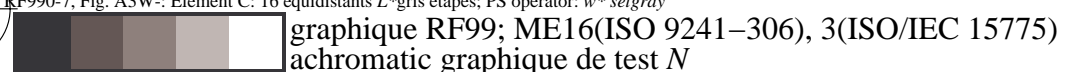
RF990-3, Fig. A1W-: Élément A: radial callebotis N-W, W-N, N-Z et W-Z; PS operator:  $w^* setgray$



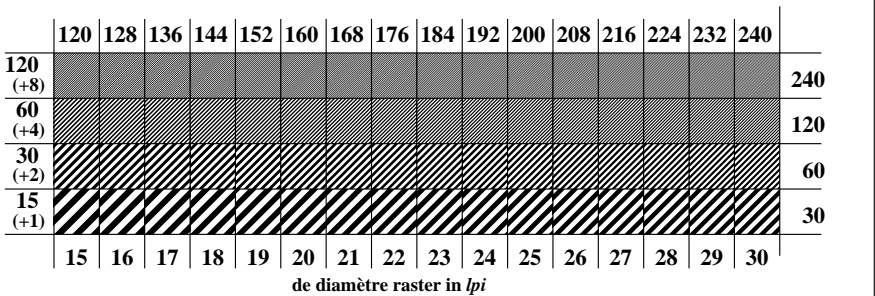
RF990-5, Fig. A2W-: Élément B: 5 équidistants  $L^*$ gris étapes +  $N_0 + W_I$ ; PS operator:  $w^* setgray$



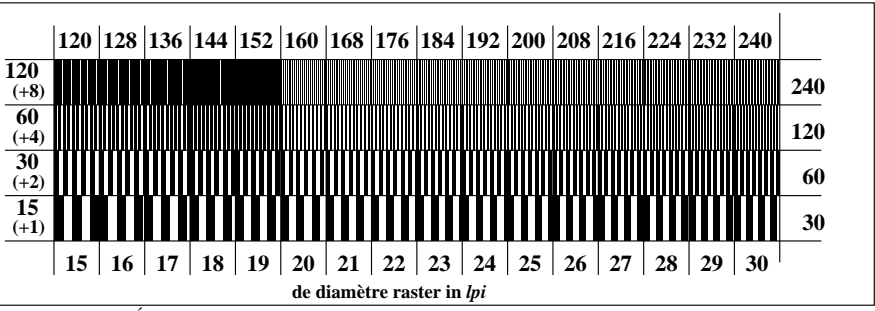
RF990-7, Fig. A3W-: Élément C: 16 équidistants  $L^*$ gris étapes; PS operator:  $w^* setgray$



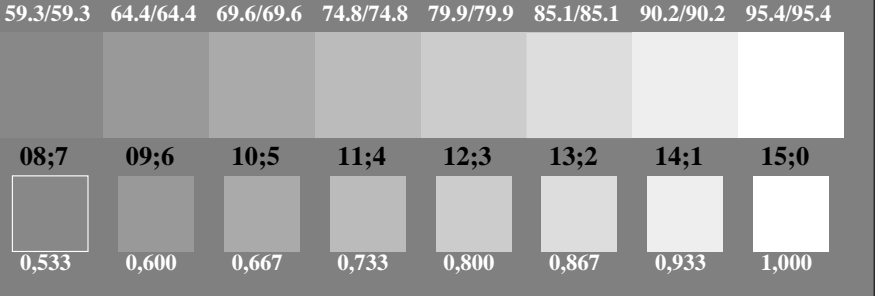
RF991-1, Fig. A4W-: Élément D: anneaux Landolt W-N; PS operator:  $w^* setgray$



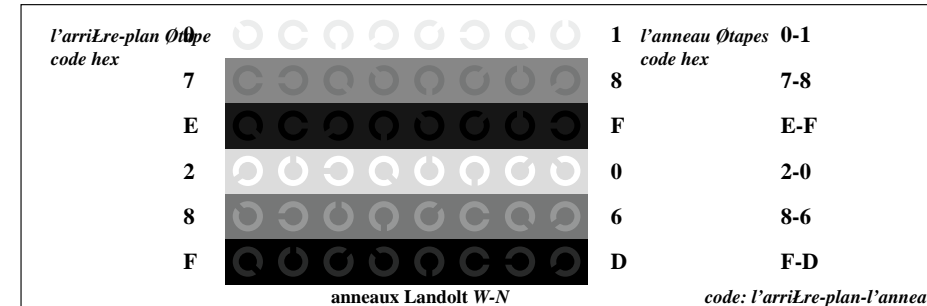
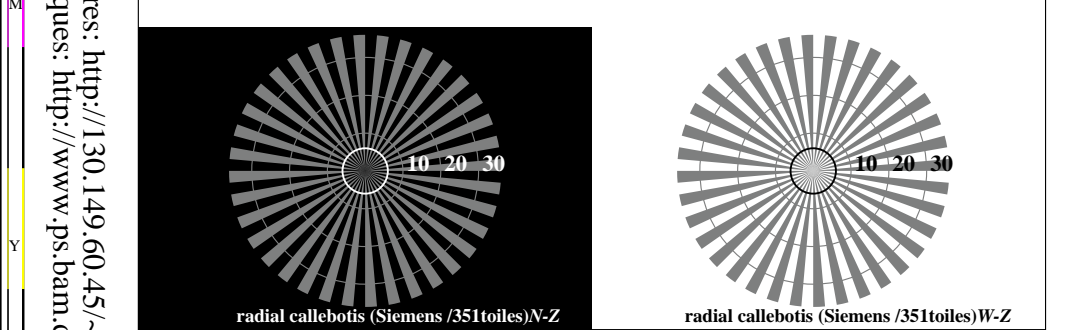
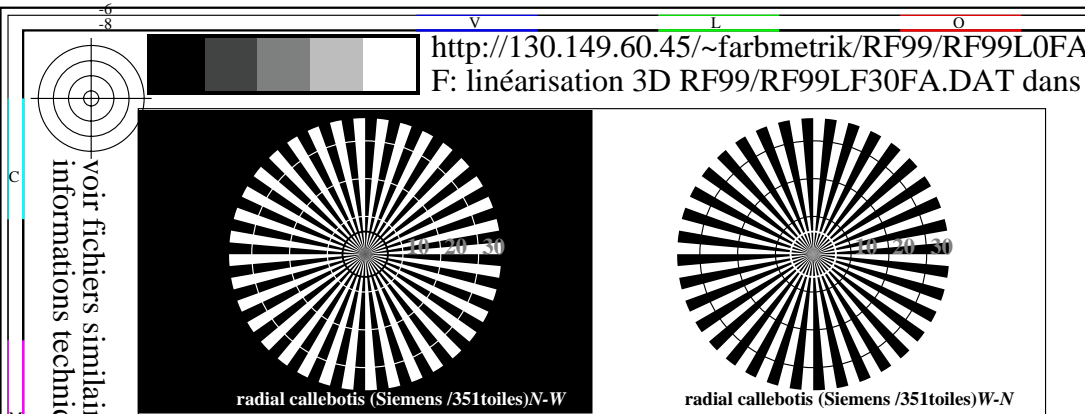
RF991-3, Fig. A5W-: Élément E: Linge raster sous 45° (ou 135°) degré; PS operator:  $w^* setgray$



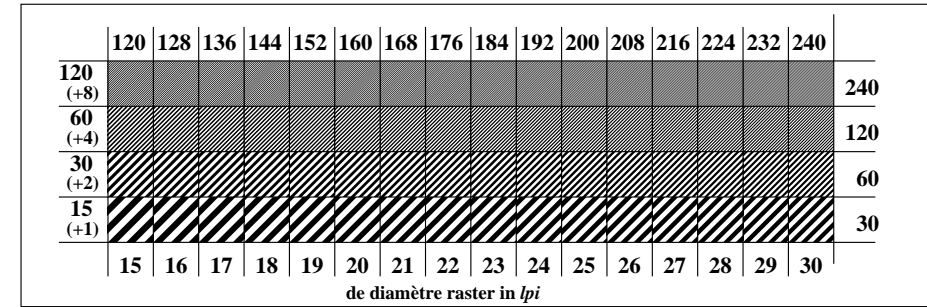
RF991-5, Fig. A6W-: Élément F: Linge raster sous 90° (ou 0°) degré; PS operator:  $w^* setgray$



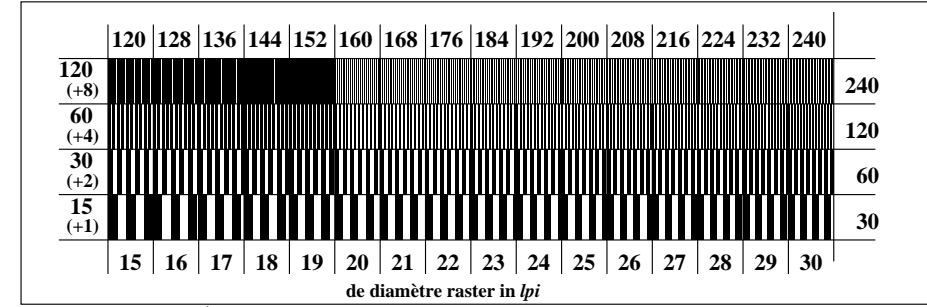
entrée :  $rgb/cmyk \rightarrow rgb/cmyk$   
sortie : aucun changement



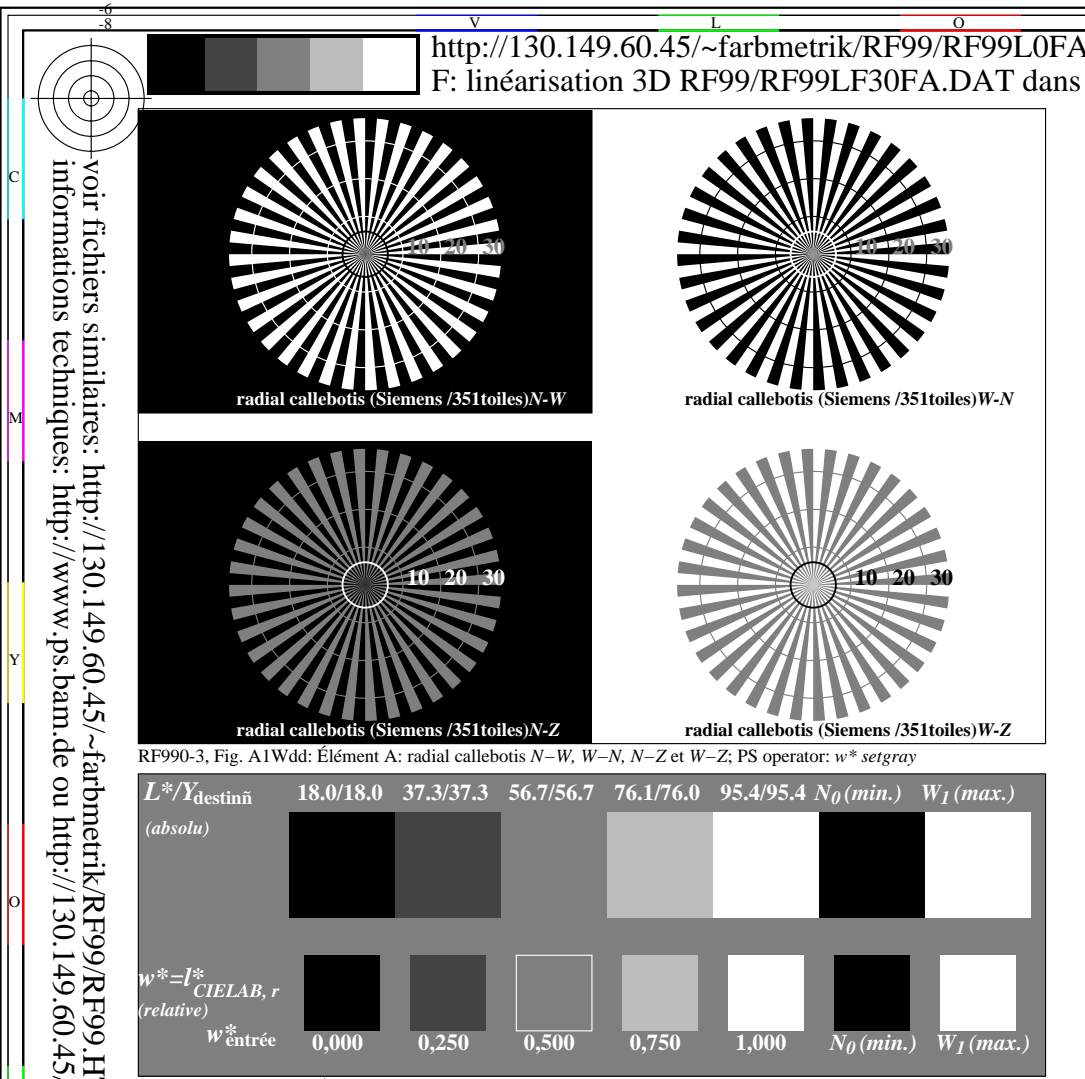
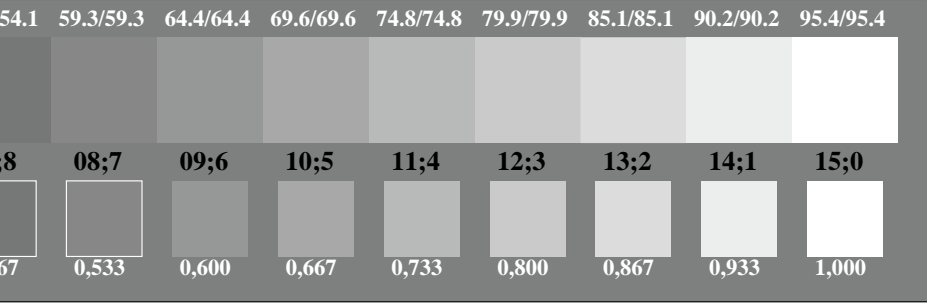
RF991-1, Fig. A4Wdd: Élément D: anneaux Landolt W-N; PS operator: *w\** *setgray*



RF991-3, Fig. A5Wdd: Élément E: Linge raster sous 45° (ou 135°) degrée; PS operator: *w\** *setgray*

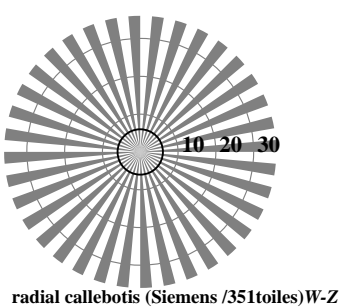
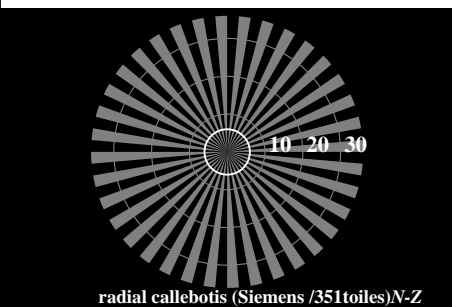
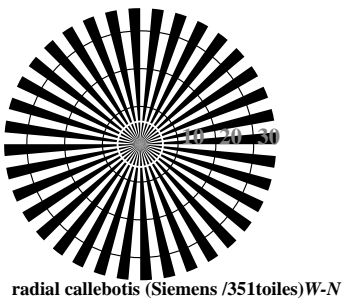
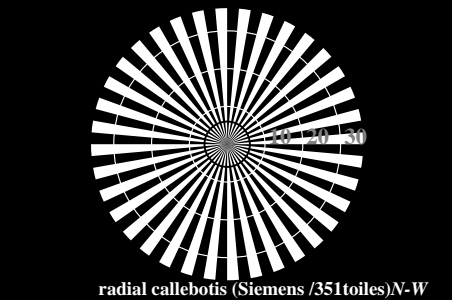


RF991-5, Fig. A6Wdd: Élément F: Linge raster sous 90° (ou 0°) degrée; PS operator: *w\** *setgray*

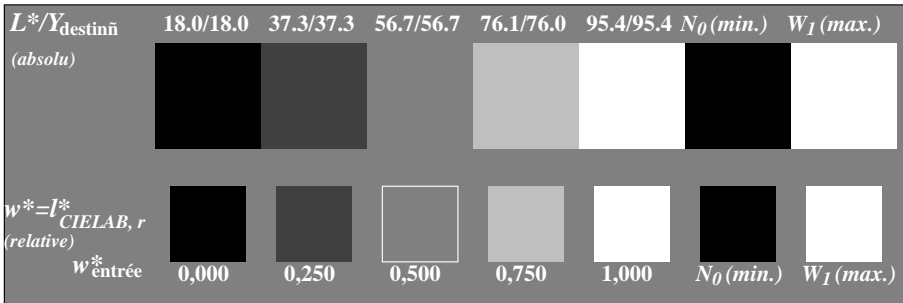


v 6 8  
L 0 O Y M C  
C 8  
M 6  
Y 8  
O 6  
R 8  
L 0 O Y M C  
V 8  
-6  
voir fichiers similaires: <http://130.149.60.45/~farbmefrik/RF99/RF99.L0FA.TXT /PS>  
informations techniques: <http://www.psbam.de> ou <http://130.149.60.45/~farbmefrik>

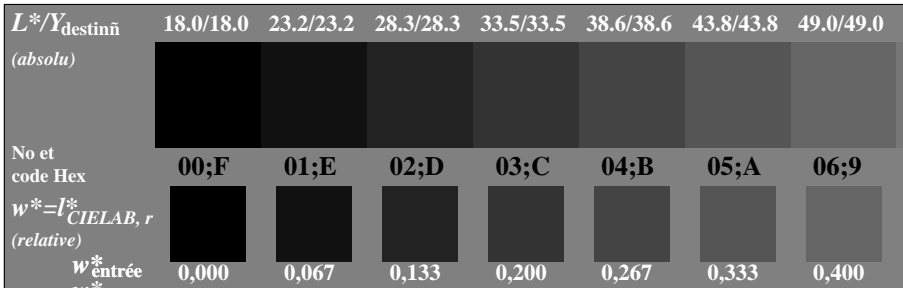
v http://130.149.60.45/~farbmefrik/RF99/RF99L0FA.TXT /PS; sortie de production  
F: linéarisation 3D RF99/RF99LF30FA.DAT dans fichier (F), page 1/2



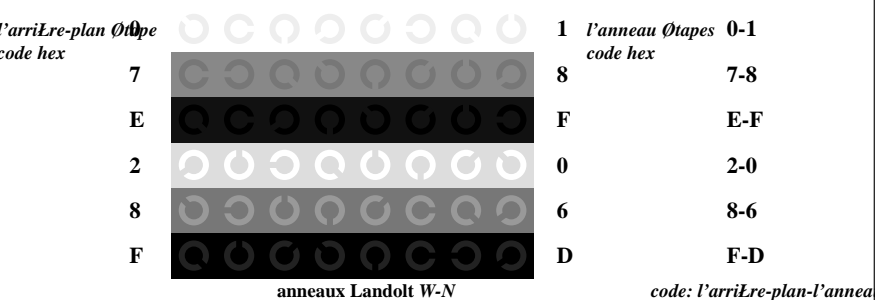
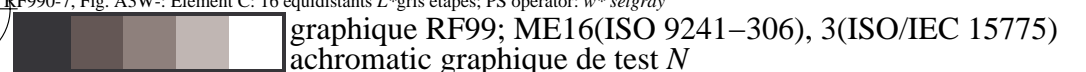
RF990-3, Fig. A1W-: Élément A: radial callebotis N-W, W-N, N-Z et W-Z; PS operator:  $w^* setgray$



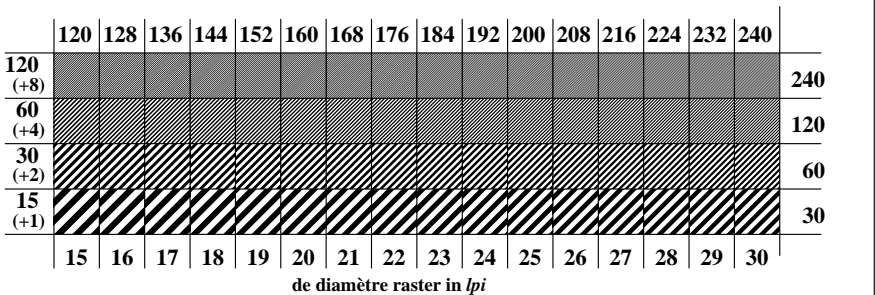
RF990-5, Fig. A2W-: Élément B: 5 équidistants  $L^*$ gris étapes +  $N_0 + W_I$ ; PS operator:  $w^* setgray$



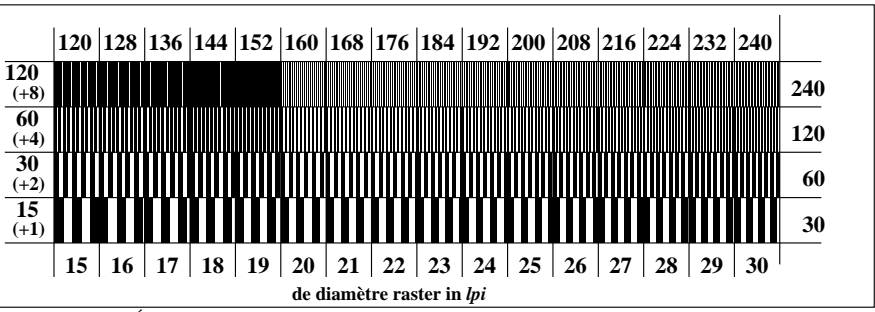
RF990-7, Fig. A3W-: Élément C: 16 équidistants  $L^*$ gris étapes; PS operator:  $w^* setgray$



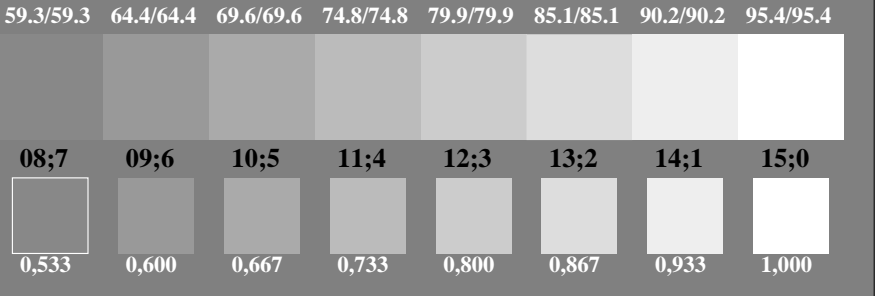
RF991-1, Fig. A4W-: Élément D: anneaux Landolt W-N; PS operator:  $w^* setgray$



RF991-3, Fig. A5W-: Élément E: Linge raster sous 45° (ou 135°) degré; PS operator:  $w^* setgray$



RF991-5, Fig. A6W-: Élément F: Linge raster sous 90° (ou 0°) degré; PS operator:  $w^* setgray$



entrée :  $rgb/cmyk \rightarrow rgb/cmyk$   
sortie : aucun changement

TUB enregistrement: 20150901-RF99/RF99L0FA.TXT /PS  
application pour la mesure de sortie sur écran, aucune séparation

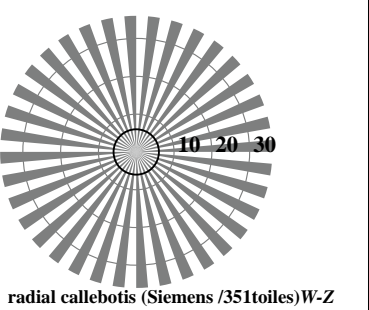
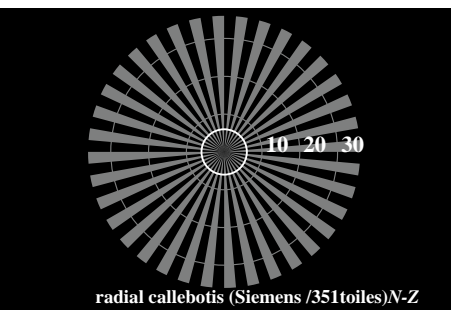
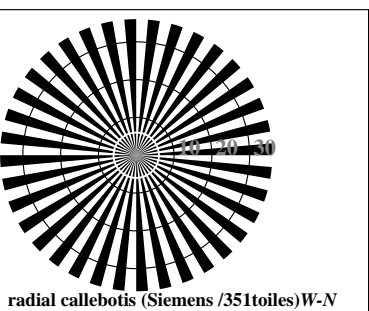
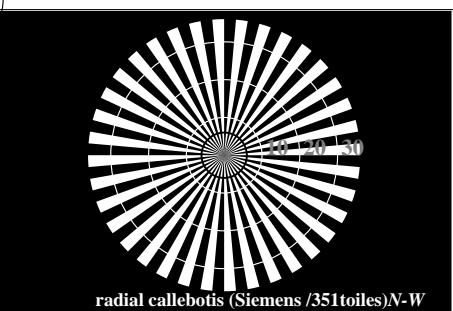
TUB matériel: code=rha4ta



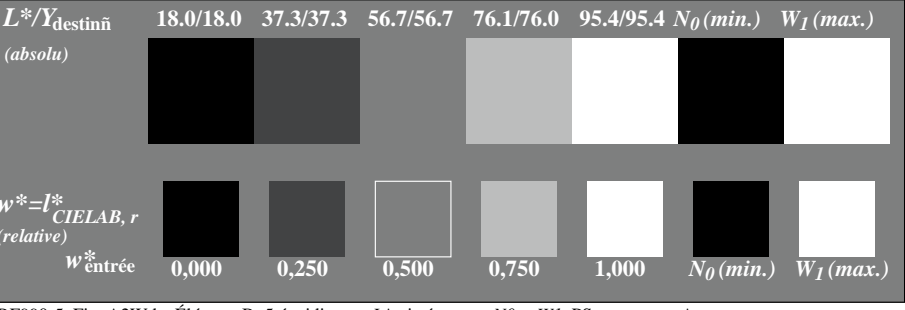
v 6 8  
c 113130 F0 C M Y O L V  
M voir fichiers similaires: <http://130.149.60.45/~farbmefrik/RF99/RF99L0FA.TXT /PS>  
informations techniques: <http://www.psbam.de> ou <http://130.149.60.45/~farbmefrik/RF99/RF99.HTM>

L 0 8  
O 0 8  
Y 0 8  
M 0 8  
C 0 8  
V 0 8  
graphique RF99; ME16(ISO 9241-306), 3(ISO/IEC 15775)  
achromatic graphique de test N, 3D=1, de=1, sRGB\*

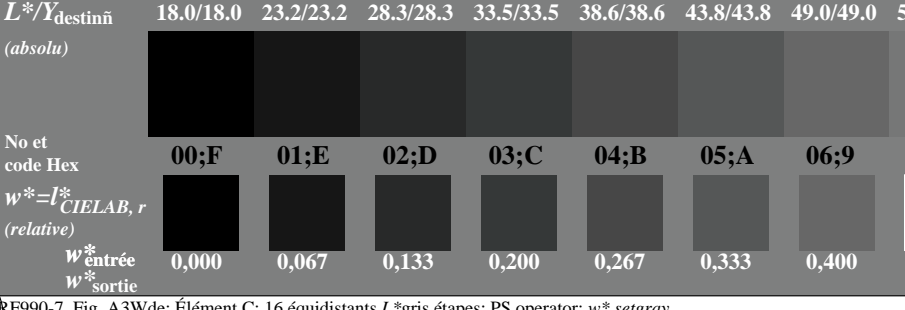
v http://130.149.60.45/~farbmefrik/RF99/RF99L0FA.TXT /PS; linéarisation 3D  
F: linéarisation 3D RF99/RF99LF30FA.DAT dans fichier (F), page 2/2



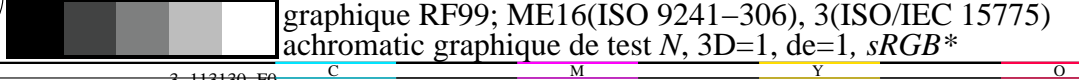
RF990-3, Fig. A1Wde: Élément A: radial callebotis N-W, W-N, N-Z et W-Z; PS operator: w\* setgray



RF990-5, Fig. A2Wde: Élément B: 5 équidistants  $L^*$ gris étapes +  $N_0$  +  $W_I$ ; PS operator: w\* setgray



RF990-7, Fig. A3Wde: Élément C: 16 équidistants  $L^*$ gris étapes; PS operator: w\* setgray

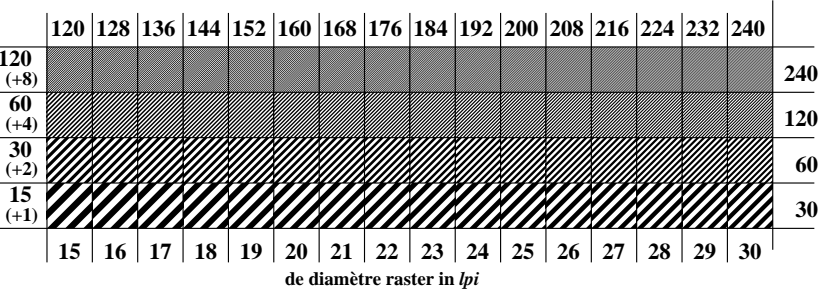


l'arrile-plan Øtpe  
code hex

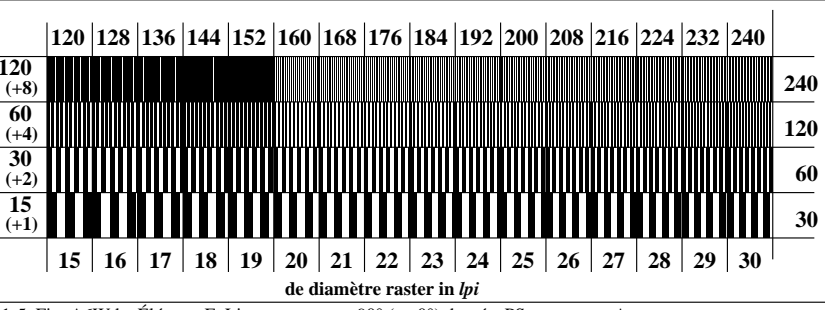
Øtpe	anneaux Landolt W-N
7	anneaux Landolt W-N
E	anneaux Landolt W-N
2	anneaux Landolt W-N
8	anneaux Landolt W-N
F	anneaux Landolt W-N

code: l'arrile-plan-l'anneau Øtpe

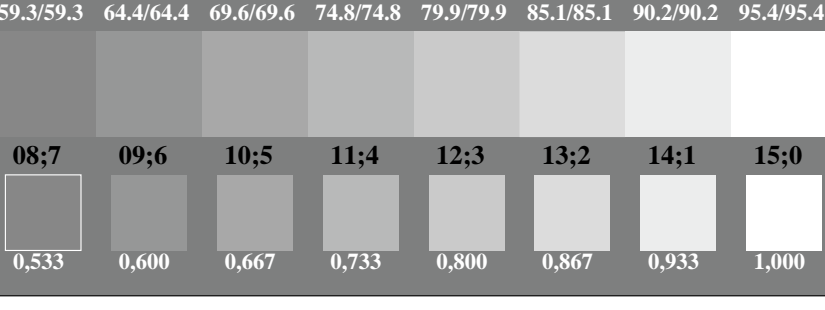
RF991-1, Fig. A4Wde: Élément D: anneaux Landolt W-N; PS operator: w\* setgray



RF991-3, Fig. A5Wde: Élément E: Linge raster sous 45° (ou 135°) degré; PS operator: w\* setgray



RF991-5, Fig. A6Wde: Élément F: Linge raster sous 90° (ou 0°) degré; PS operator: w\* setgray



entrée :  $rgb/cmky \rightarrow rgb_{de}$   
sortie : linéarisation 3D selon  $rgb^*_{de}$